

**Bachelorarbeit**

---

**mein thema**

---

vorgelegt von

**Maximilian Huber**

am

**Institut für Mathematik**

der

**Universität Augsburg**

betreut durch

**Prof. Dr. Marco Hien**

abgegeben am

**noch nicht**

stand: 21. Januar 2013

# Inhaltsverzeichnis

<b>Einleitung</b>	<b>iii</b>
<b>1 Mathematische Grundlagen</b>	<b>1</b>
<b>2 Der Ring <math>\mathcal{D}</math></b>	<b>3</b>
2.1 Weyl-Algebra und der Ring $\mathcal{D}$ . . . . .	3
2.1.1 Weyl Algebra als Graduierter Ring . . . . .	6
2.2 (Links) $\mathcal{D}$ -Moduln . . . . .	6
<b>3 Der Meromorphe Zusammenhang</b>	<b>8</b>
3.1 Lokalisierung eines (holonomen) $\mathcal{D}$ -Moduls . . . . .	8
3.2 Meromorpher Zusammenhang (Definition) . . . . .	8
3.3 Eigenschaften . . . . .	9
3.4 Formale Meromorphe Zusammenhänge . . . . .	12
3.5 Newton Polygon . . . . .	12
3.6 pull-back und push-forward . . . . .	14
3.7 Elementare Meromorphe Zusammenhänge . . . . .	22
<b>4 Levelt-Turrittin-Theorem</b>	<b>23</b>
4.1 Klassische Definition . . . . .	23
4.2 Sabbah's Refined version . . . . .	24
<b>Anhang</b>	<b>28</b>
<b>A Aufteilung von ...</b>	<b>29</b>
<b>B Wie ich Newton Polygone zeichne</b>	<b>31</b>

# Einleitung



# 1 Mathematische Grundlagen

Hier werde ich mich auf [Sab90] und [Cou95] beziehen.

In dieser Arbeit spielen die folgenden Ringe eine Große Rolle:

- $\mathbb{C}[x] := \{\sum_{i=1}^N a_i x^i \mid N \in \mathbb{N}\}$
- $\mathbb{C}\{x\} := \{\sum_{i=1}^{\infty} a_i x^i \mid \text{pos. Konvergenzradius}\}$
- $\mathbb{C}[[x]] := \{\sum_{i=1}^{\infty} a_i x^i\}$
- $K := \mathbb{C}(\{x\}) := \mathbb{C}\{x\}[x^{-1}]$
- $\hat{K} := \mathbb{C}((x)) := \mathbb{C}[[x]][x^{-1}]$

Wobei offensichtlich gilt  $\mathbb{C}[x] \subset \mathbb{C}\{x\} \subset \mathbb{C}[[x]]$ .

Es bezeichnet der Hut (^) das jeweils formale äquivalent zu einem konvergentem Objekt.

**Lemma 1.1** (Seite 2). *ein paar eigenschaften*

1.  $\mathbb{C}[x]$  ist ein graduierter Ring, durch die Grad der Polynome. Diese graduierung induziert eine aufsteigende Filtrierung.

*alle Ideale haben die form  $(x - a)$  mit  $a \in \mathbb{C}$*

2. wenn  $\mathfrak{m}$  das maximale Ideal von  $\mathbb{C}[x]$  (erzeugt von  $x$  ist), so ist

$$\mathbb{C}[[x]] = \varprojlim_k \mathbb{C}[X] \setminus \mathfrak{m}^k$$

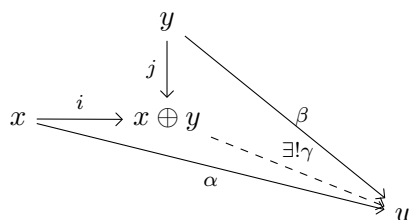
*The ring  $\mathbb{C}[[x]]$  ist ein nöterscher lokaler Ring: jede Potenzreihe mit konstantem term  $\neq 0$  ist invertierbar.*

*Der ring ist ebenfalls ein diskreter ??? Ring (discrete valuation ring)*

Die Filtrierung nach grad des Maximalen Ideals, genannt  $\mathfrak{m}$ -adische Filtration, ist die Filtrierung  $\mathfrak{m}^k = \{f \in \mathbb{C}[[x]] \mid v(f) \geq k\}$

und es gilt  $gr_{\mathfrak{m}}(\mathbb{C}[[x]]) = \mathbb{C}[x]$

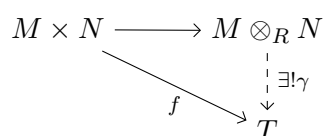
**Definition 1.2** (Direkte Summe). [Sta12, 4(Categories).5.1] Seien  $x, y \in \text{Ob}(\mathcal{C})$ , eine *Direkte Summe* oder das *coprodukt* von  $x$  und  $y$  ist ein Objekt  $x \oplus y \in \text{Ob}(\mathcal{C})$  zusammen mit Morphismen  $i \in \text{Mor}_{\mathcal{C}}(x, x \oplus y)$  und  $j \in \text{Mor}_{\mathcal{C}}(y, x \oplus y)$  so dass die folgende universelle Eigenschaft gilt: für jedes  $w \in \text{Ob}(\mathcal{C})$  mit Morphismen  $\alpha \in \text{Mor}_{\mathcal{C}}(x, w)$  und  $\beta \in \text{Mor}_{\mathcal{C}}(y, w)$  existiert ein eindeutiges  $\gamma \in \text{Mor}_{\mathcal{C}}(x \oplus y, w)$  so dass das Diagramm



kommutiert.

**Definition 1.3** (Tensorprodukt). [Sta12, 3(Algebra).11.21]

Faserprodukt: [Sta12, 4(Categories).6.1]



**Definition 1.4** (Kurze exakte Sequenz).

## 2 Der Ring $\mathcal{D}$

### 2.1 Weyl-Algebra und der Ring $\mathcal{D}$

Ich werde hier die Weyl Algebra, wie in [Sab90, Chapter 1], in einer Veränderlichen einführen. Sei  $\frac{\partial}{\partial x} = \partial_x$  der Ableitungsoperator nach  $x$  und sei  $f \in \mathbb{C}[x]$  (bzw.  $\mathbb{C}\{x\}$  bzw.  $\mathbb{C}[[x]]$ ). Man hat die folgende Kommutations-Relation zwischen dem *Ableitungsoperator* und dem *Multiplikationsoperator*  $f$ :

$$\left[\frac{\partial}{\partial x}, f\right] = \frac{\partial f}{\partial x} \quad (2.1)$$

wobei die Rechte Seite die Multiplikation mit  $\frac{\partial f}{\partial x}$  darstellt. Dies bedeutet, für alle  $g \in \mathbb{C}[x]$  hat man:

$$\left[\frac{\partial}{\partial x}, f\right] \cdot g = \frac{\partial fg}{\partial x} - f \frac{\partial g}{\partial x} = \frac{\partial f}{\partial x} \cdot g$$

**Definition 2.1** (Weyl Algebra,  $\mathcal{D}$ ). Definiere nun die Weyl Algebra  $A_1(\mathbb{C})$  (bzw. die Algebra  $\mathcal{D}$  von linearen Operatoren mit Koeffizienten in  $\mathbb{C}\{x\}$  bzw. die Algebra  $\hat{\mathcal{D}}$  (Koeffizienten in  $\mathbb{C}[[x]]$ )) als die Quotientenalgebra der freien Algebra, welche von dem Koeffizientenring zusammen mit dem Element  $\partial_x$ , erzeugt wird, Modulo der Relation (2.1).

**Definition 2.2.** Definiere nun den Ring  $\mathcal{D}_k$  als die Quotientenalgebra der freien Algebra, welche von dem Koeffizientenring zusammen mit dem Element  $\partial_x$ , erzeugt wird, Modulo der Relation (2.1). Wir schreiben diesen Ring als

- $A_1(\mathbb{C}) = \mathbb{C}[x] \langle \partial_x \rangle$  falls  $k = \mathbb{C}[x]$ , und nennen ihn die *Weyl Algebra*
- $\mathcal{D} = \mathbb{C}\{x\} \langle \partial_x \rangle$  falls  $k = \mathbb{C}\{x\}$
- $\hat{\mathcal{D}} = \mathbb{C}[[x]] \langle \partial_x \rangle$  falls  $k = \mathbb{C}[[x]]$
- $\mathcal{D}_K = \mathbb{C}(\{x\}) \langle \partial_x \rangle$  falls  $k = K \stackrel{\text{def}}{=} \mathbb{C}\{x\}[x^{-1}]$

- $\mathcal{D}_{\hat{K}} = \mathbb{C}((x)) \langle \partial_x \rangle$  falls  $k = \hat{K} \stackrel{\text{def}}{=} \mathbb{C}[[x]][x^{-1}]$

*Bemerkung 2.3.* Es gilt  $\hat{\mathcal{D}}[x^{-1}] = \mathcal{D}_{\hat{K}}$

Wir werden die Notation  $A_1(\mathbb{C}) := \mathbb{C}[x] \langle \partial_x \rangle$  (bzw.  $\mathcal{D} := \mathbb{C}\{x\} \langle \partial_x \rangle$  bzw.  $\hat{\mathcal{D}} := \mathbb{C}[[x]] \langle \partial_x \rangle$ ) verwenden.

Beispiele und Alternative Definition:

Sergey-Arkhipov-MAT1191\_Lecture\_Notes.pdf Chapter 2.1

**Lemma 2.4.** Sei  $A$  einer der 3 soeben eingeführten Objekten, so definieren die Addition

$$+ : A \times A \rightarrow A$$

und die Multiplikation

$$\cdot : A \times A \rightarrow A$$

eine Ringstruktur auf  $A$ .

*Beweis.* [AV09, Kapitel 2 Section 1] □

*Bemerkung 2.5.*  $A_1(\mathbb{C})$ ,  $\mathcal{D}$  und  $\hat{\mathcal{D}}$  sind nicht kommutative Algebren.

**Definition 2.6** (Kommutator). Sei  $R$  ein Ring. Für  $a, b \in R$  wird

$$[a, b] = a \cdot b - b \cdot a$$

der *Kommutator* von  $a$  und  $b$  genannt.

**Proposition 2.7.** 1. Es gilt

$$[\partial_x, x] = \partial_x x - x \partial_x = 1$$

2. Sei  $f \in \mathbb{C}[x]$ , so gilt:

$$[\partial_x, f] = \frac{\partial f}{\partial x}.$$

Denn für  $g \in \mathbb{C}[x]$  ist

$$[\partial_x, f] \cdot g = \partial_x(fg) - f \partial_x g = (\partial_x f)g + \underbrace{f(\partial_x g) - f(\partial_x g)}_{=0} = (\partial_x f)g$$



3. Es gelten die Formeln

$$\begin{aligned} [\partial_x, x^k] &= kx^{k-1} \\ [\partial_x^j, x] &= j\partial_x^{j-1} \\ [\partial_x^j, x^k] &= \sum_{i \geq 1} \frac{k(k-1) \cdots (k-i+1) \cdot j(j-1) \cdots (j-i+1)}{i!} x^{k-i} \partial_x^{j-i} \end{aligned}$$

Beweis. [AV09]

□

**Proposition 2.8.** [Sab90, Proposition 1.2.3] Jedes Element in  $A_1(\mathbb{C})$  (bzw.  $\mathcal{D}$  oder  $\hat{\mathcal{D}}$ ) kann auf eindeutige Weise als  $P = \sum_{i=0}^n a_i(x) \partial_x^i$ , mit  $a_i(x) \in A_1(\mathbb{C})$  (bzw.  $\mathcal{D}$  oder  $\hat{\mathcal{D}}$ ), geschrieben werden.

Beweis. [Sab90, Proposition 1.2.3]

ein teil des Beweises ist "left as an exersice"

□

**Definition 2.9.** Sei  $P = \sum_{i=0}^n a_i(x) \partial_x^i$  gegeben, so definiere

$$\deg P := \max\{i \mid a_i \neq 0\}$$

In natürlicher Weise erhält man  $F_N \mathcal{D} := \{P \in \mathcal{D} \mid \deg P \leq N\}$  sowie die entsprechende aufsteigende Filtrierung

$$\cdots \subset F_{-1} \mathcal{D} \subset F_0 \mathcal{D} \subset F_1 \mathcal{D} \subset \cdots \subset \mathcal{D}$$

und erhalte  $gr_k^F \mathcal{D} \stackrel{\text{def}}{=} F_N \mathcal{D} / F_{N-1} \mathcal{D} = \{P \in \mathcal{D} \mid \deg P = N\} \cong \mathbb{C}\{x\}$ .

Beweis. Sei  $P \in F_N \mathcal{D}$  so betrachte den Isomorphismus:

$$F_N \mathcal{D} / F_{N-1} \mathcal{D} \rightarrow \mathbb{C}\{x\}; [P] = P + F_{N-1} \mathcal{D} \mapsto a_n(x)$$

□

**Proposition 2.10.** Es gilt:

$$gr^F \mathcal{D} := \bigoplus_{N \in \mathbb{Z}} gr_N^F \mathcal{D} = \bigoplus_{N \in \mathbb{N}_0} gr_N^F \mathcal{D} \cong \bigoplus_{N \in \mathbb{N}_0} \mathbb{C}\{x\} \cong \mathbb{C}\{x\}[\xi] = \bigoplus_{N \in \mathbb{N}_0} \mathbb{C}\{x\} \cdot \xi^N$$

*isomorph als grad. Ringe*

also

$$gr^F \mathcal{D} \cong \bigoplus_{N \in \mathbb{N}_0} \mathbb{C}\{x\} \cdot \xi^N.$$

*Beweis.* TODO

Treffen?

□

### 2.1.1 Weyl Algebra als Graduierter Ring

Sei  $A$  nun einer der drei Koeffizienten Ringe, welche zuvor behandelt wurden. Der Ring  $A \langle \partial_x \rangle$  kommt zusammen mit einer aufsteigenden Filtrierung, welche wir mit  $F(A \langle \partial_x \rangle)$  bezeichnen werden. Sei  $P$  ein bzgl. 2.8 minimal geschriebener Operator, so ist  $P$  in  $F_k$  falls der maximale Grad von  $\partial_x$  in  $P$  kleiner oder gleich  $k$ . So definiere den Grad  $deg P$  von  $P$  als die Eindeutige ganze Zahl  $k$  mit  $P \in F_k A \langle \partial_x \rangle / F_{k-1} \langle \partial_x \rangle$

Unabhängigkeit von Schreibung wird in Sabbah Script behauptet

## 2.2 (Links) $\mathcal{D}$ -Moduln

[Ara, Chapter 1.6.] Da  $\mathcal{D}$  ein nichtkommutativer Ring ist, muss man vorsichtig sein und zwischen links und rechts  $\mathcal{D}$ -Moduln unterscheiden. Wenn ich im folgendem von  $\mathcal{D}$ -Moduln rede, werde ich mich immer auf links  $\mathcal{D}$ -Moduln beziehen.

**Beispiel 2.11** (Einfachste links  $\mathcal{D}$ -Moduln). Sei  $X = \mathbb{A}^1$  und  $\mathcal{O}_X = \mathbb{C}[t]$ .

1.  $\mathcal{D}$  ist ein  $\mathcal{D}$ -Modul
2.  $\mathcal{M} = \mathcal{O}_X$  durch

- $\partial(f(t)) = \frac{\partial f}{\partial t}$  und  $t \cdot f(t) = tf$
  - oder [Gin98, Exmp 3.1.2]  $\mathcal{O}_X = \mathcal{D} \cdot 1 = \mathcal{D}/\mathcal{D} \cdot \partial$ .
3.  $\mathcal{M} = \mathcal{O}_X \exp(\lambda t)$  mit  $\partial(f(t) \exp(\lambda t)) = \frac{\partial f}{\partial t} \exp(\lambda t) + f\lambda \exp(\lambda t)$
4.  $\mathcal{M} = \mathbb{C}[t, t^{-1}]$  mit  $t \cdot t^m = t^{m+1}$  und  $\partial(t^m) = mt^{m-1}$

## 3 Der Meromorphe Zusammenhang

- wofür sind die gut?
- wieso kommt man ursprünglich dazu

### 3.1 Lokalisierung eines (holonomen) $\mathcal{D}$ -Moduls

Sei  $\mathcal{M}$  ein links  $\mathcal{D}$ -Modul. Betrachte  $\mathcal{M}$  als  $\mathbb{C}\{x\}$ -Modul und definiere darauf

$$M[x^{-1}] := M \otimes_{\mathbb{C}\{x\}} K$$

als die Lokalisierung von  $\mathcal{M}$ .

**Proposition 3.1.** [Sab90, Prop 4.2.1.]  $\mathcal{M}[x^{-1}]$  bekommt in natürlicher Weise eine  $\mathcal{D}$ -Modul Struktur.

*Beweis.* [Sab90, Prop 4.2.1.] mit:

$$\partial_x(m \otimes x^{-k}) = ((\partial_x m) \otimes x^{-k}) - km \otimes x^{-k-1}$$

□

### 3.2 Meromorpher Zusammenhang (Definition)

**Definition 3.2** (Meromorpher Zusammenhang). Ein *Meromorpher Zusammenhang*  $(\mathcal{M}_K, \partial)$  besteht aus folgenden Daten:

- $\mathcal{M}_K$ , ein endlich dimensionaler  $K$ -Vektor Raum
- einer  $\mathbb{C}$ -linearen Abbildung  $\partial : \mathcal{M}_K \rightarrow \mathcal{M}_K$ , genannt *Derivation* oder *Zusammenhang*, welche für alle  $f \in K$  und  $u \in \mathcal{M}_K$  die *Leibnitzregel*

$$\partial(fu) = f'u + f\partial u \quad (3.1)$$

erfüllen soll.

**Bemerkung 3.3.** 1. Später wird man auf die Angabe von  $\partial$  verzichten und einfach  $\mathcal{M}_K$  als den Meromorphen Zusammenhang bezeichnen.

2. Wir betrachten hier Meromorphe Zusammenhänge an  $x = 0$  als Singularität.

**Definition 3.4.** [Sab07, 1.a] Sei  $\varphi \in \mathbb{C}((u))$ . Wir schreiben  $\mathcal{E}^\varphi$  für den (formalen) Rang 1 Vektorraum  $\mathbb{C}((u))$  ausgestattet mit dem Zusammenhang  $\nabla = \partial_u + \partial_u \varphi$ , im speziellen also  $\nabla_{\partial_u} 1 = \partial_u 1 = \varphi'$ .

Also

$$\begin{aligned} \mathcal{E}^\varphi &= \mathbb{C}((u)) \xrightarrow{\partial_u} \mathbb{C}((u)) \\ 1 &\mapsto \varphi'(u) \\ f(u) &\mapsto f'(u) + f(u)\varphi'(u) \end{aligned}$$

**Bemerkung 3.5.** [Sab07, 1.a] Es gilt  $\mathcal{E}^\varphi \cong \mathcal{E}^\psi$  genau dann wenn  $\varphi \equiv \psi \pmod{\mathbb{C}[[u]]}$ .

### 3.3 Eigenschaften

[Sab90, 4.2] Let  $\mathcal{M}$  be a left  $\mathcal{D}$ -module. First we consider it only as a  $\mathbb{C}\{x\}$ -module and let  $\mathcal{M}[x^{-1}]$  be the localized module.

**Lemma 3.6** (Lemma vom zyklischen Vektor). [Sab90, Thm 4.3.3] [AV09, Satz 4.8] Sei  $\mathcal{M}_K$  ein Meromorpher Zusammenhang. Es Existiert ein Element  $m \in \mathcal{M}_K$  und eine ganze Zahl  $d$  so dass  $m, \partial_t m, \dots, \partial_t^{d-1} m$  eine  $K$ -Basis von  $\mathcal{M}_K$  ist.

*Beweis.* [AV09, Satz 4.8] □

**Satz 3.7.** [Sab90, Thm 4.3.2] Ein Meromorpher Zusammenhang bestimmt ein  $\mathcal{D}_K$ -Modul und andersherum.

*Beweis.* [Sab90, Thm 4.3.2] □

**Lemma 3.8.** [AV09, Satz 4.12] [Sab90, Thm 4.3.2] Ist  $\mathcal{M}_K$  ein Meromorpher Zusammenhang, dann existiert ein  $P \in \mathcal{D}_K$  so dass  $\mathcal{M}_K \cong \mathcal{D}_K / \mathcal{D}_K \cdot P$ .

*Beweis.* [AV09, Satz 4.12] □

*Bemerkung 3.9.* [Sab90, Proof of Theorem 5.4.7]

$$\dim_{\hat{K}} \mathcal{M}_{\hat{K}} = \deg P \text{ wenn } \mathcal{M}_{\hat{K}} = \mathcal{D} / \mathcal{D} \cdot P$$

**Lemma 3.10.** Sei  $(\mathcal{M}_K, \partial)$  ein gegebener Meromorpher Zusammenhang, und  $\varphi$  ein Basisisomorphismus von  $K^r$  nach  $\mathcal{M}_K$ , also in der Situation

$$\begin{array}{ccc} \mathcal{M}_K & \xrightarrow{\partial} & \mathcal{M}_K \\ \uparrow \cong \varphi & & \uparrow \varphi \cong \\ K^r & \xrightarrow{\varphi^{-1} \circ \partial \circ \varphi} & K^r \end{array}$$

gilt:  $(K^r, \varphi^{-1} \circ \partial \circ \varphi)$  ist ebenfalls ein Meromorpher Zusammenhang.

*Beweis.* TODO, (3. Treffen) □

**Lemma 3.11.** Sei  $(\mathcal{M}_K, \partial)$  ein gegebener Meromorpher Zusammenhang, und  $\varphi : \mathcal{M} \rightarrow \mathcal{N}$  ein Isomorphismus so ist  $(\mathcal{N}, \varphi^{-1} \circ \partial \circ \varphi)$  ein zu  $(\mathcal{M}_K, \partial)$  isomorpher Zusammenhang.

$$\begin{array}{ccc} \mathcal{M}_K & \xrightarrow{\partial} & \mathcal{M}_K \\ \uparrow \cong \varphi & & \uparrow \varphi \cong \\ \mathcal{N} & \xrightarrow{\varphi^{-1} \circ \partial \circ \varphi} & \mathcal{N} \end{array}$$

*Beweis.* TODO, (3. Treffen) □

**Lemma 3.12.** *Sei  $\mathcal{M}_K \cong K^r$  ein endlich dimensionaler  $K$ -Vektor Raum mit  $\partial_1$  und  $\partial_2$  zwei darauf definierte Derivationen. So gilt, die Differenz zweier Derivationen ist  $K$ -linear.*

*Beweis.* Seien  $\partial_1$  und  $\partial_2$  zwei Derivationen auf  $\mathcal{M}_K$ . Da  $\partial_1$  und  $\partial_2$   $\mathbb{C}$ -linear, ist  $\partial_1 - \partial_2$   $\mathbb{C}$ -linear, also muss nur noch gezeigt werden, dass  $(\partial_1 - \partial_2)(fu) = f \cdot (\partial_1 - \partial_2)(u) \forall f \in K$  und  $u \in \mathcal{M}_K$  gilt.

$$\begin{aligned}
 (\partial_1 - \partial_2)(fu) &= \partial_1(fu) - \partial_2(fu) \\
 &= f'u + f\partial_1 u - f'u - f\partial_2 u \\
 &= \underbrace{f'u - f'u}_{=0} + f \cdot (\partial_1 u - \partial_2 u) \\
 &= f \cdot (\partial_1 - \partial_2)(u)
 \end{aligned}$$

□

**Korollar 3.13.** *Es sei  $(K^r, \partial)$  ein Meromorpher Zusammenhang. So ist  $\frac{d}{dz} - \partial : K^r \rightarrow K^r$   $K$ -linear, also es existiert eine Matrix  $A \in M(r \times r, K)$  mit  $\frac{d}{dz} - \partial = A$ , also ist  $\partial = \frac{d}{dz} - A$ .*

**Definition 3.14** (Transformationsformel). In der Situation

$$\begin{array}{ccccc}
 K^r & & \xrightarrow{\frac{d}{dz} + A} & & K^r \\
 & \searrow \cong \varphi & & \nwarrow \cong \psi & \\
 & & M & \xrightarrow{\partial} & M \\
 & \nearrow \cong \psi & & \nwarrow \cong \varphi & \\
 K^r & & \xrightarrow{\frac{d}{dz} + B} & & K^r \\
 \uparrow \cong T & & & & \downarrow \cong T \\
 K^r & & & & K^r
 \end{array}$$

mit  $\varphi, \psi$  und  $T$   $K$ -Linear und  $\partial, (\frac{d}{dz} + A)$  und  $(\frac{d}{dz} + B)$   $\mathbb{C}$ -Linear, gilt:

Der Merom. Zush.  $\frac{d}{dz} + A$  auf  $K^r$  wird durch Basiswechsel  $T \in GL(r, K)$  zu

$$\frac{d}{dz} + (T^{-1} \cdot T' + T^{-1}AT) = \frac{d}{dz} + B$$

**Definition 3.15** (Differenziell Äquivalent). Man nennt  $A$  und  $B$  *differenziell Äquivalent* ( $A \sim B$ ) genau dann, wenn es ein  $T \in GL(r, K)$  gibt, mit  $B = T^{-1} \cdot T' + T^{-1}AT$ .

$$\begin{aligned} 1 = TT^{-1} &\rightsquigarrow T'T^{-1} + T(T^{-1})' = 0 \\ 1 = T^{-1}T &\rightsquigarrow (T^{-1})'T + T^{-1}T' = 0 \end{aligned}$$

TODO: Ab hier formal???

### 3.4 Formale Meromorphe Zusammenhänge

Definiere  $\hat{\mathcal{D}}[x^{-1}] = \mathcal{D}_{\mathbb{C}[[x]]}[x^{-1}] = \hat{K} < \partial_x > =: \mathcal{D}_{\hat{K}}$  wobei  $\hat{K} = \mathbb{C}[[u]][x^{-1}]$

**Definition 3.16** (Meromorpher Zusammenhang). Ein *Meromorpher Zusammenhang*  $(\mathcal{M}_{\hat{K}}, \partial)$  besteht aus folgenden Daten:

- $\mathcal{M}_{\hat{K}}$ , ein endlich dimensionaler  $\hat{K}$ -Vektor Raum
- einer  $\mathbb{C}$ -linearen Abbildung  $\partial : \mathcal{M}_{\hat{K}} \rightarrow \mathcal{M}_{\hat{K}}$ , genannt *Derivation* oder *Zusammenhang*, welche für alle  $f \in \hat{K}$  und  $u \in \mathcal{M}_{\hat{K}}$  die *Leibnitzregel*

$$\partial(fu) = f'u + f\partial u \tag{3.2}$$

erfüllen soll.

*Bemerkung 3.17.* Alle bisher getroffene Aussagen stimmen auch für formale Meromorphe Zusammenhänge. Im besonderen existiert für jedes  $\mathcal{M}_{\hat{K}}$  ein ein  $P \in \mathcal{D}_{\hat{K}}$  mit  $\mathcal{M} = \mathcal{D}_{\hat{K}}/\mathcal{D}_{\hat{K}} \cdot P$ .

### 3.5 Newton Polygon

Jedes  $P \in \mathcal{D}$  lässt sich eindeutig als

$$P = \sum_{k=0}^n \sum_{l=-N}^{\infty} \alpha_{kl} t^l \partial_t^k$$

mit  $\alpha_{kl} \in \mathbb{C}$  schreiben und betrachte das zu  $P$  dazugehörige

$$H(P) := \bigcup_{k,l \text{ mit } \alpha_{kl} \neq 0} \left( (k, l-k) + \mathbb{R}_{\leq 0} \times \mathbb{R}_{\geq 0} \right) \subset \mathbb{R}^2.$$



Bei Sabbah:  $H \subset \mathbb{N} \times \mathbb{Z}$  und dann konvexe Hülle davon in  $\mathbb{R}^2$

**Definition 3.18.** Das Randpolygon von  $\text{conv}(H(P))$  heißt das *Newton Polygon* von  $P$  und wird geschrieben als  $N(P)$ .

**Definition 3.19.** Die Menge  $\text{slopes}(P)$  sind die nicht-vertikalen Steigungen von  $N(P)$ , die sich echt rechts von  $\{0\} \times \mathbb{R}$  befinden.

- $P$  heißt *regulär singular*  $:\Leftrightarrow \text{slopes}(P) = \{0\}$ , sonst *irregulär singular*.
- Schreibe  $\mathcal{P}(\mathcal{M}_K)$  für die Menge der zu  $\mathcal{M}_K$  gehörigen slopes
- Ein meromorpher Zusammenhang  $\mathcal{M}_K$  heißt regulär singular, falls es ein regulär singuläres  $P$  gibt, mit  $\mathcal{M}_K \cong \mathcal{D}/\mathcal{D} \cdot P$

**Beispiel 3.20.** 1. Ein besonders einfaches Beispiel ist  $P_1 = t^{\textcolor{red}{1}}\partial_t^{\textcolor{blue}{2}}$ . Es ist leicht abzulesen, dass

$$\textcolor{blue}{k} = 2 \qquad \qquad \qquad \textcolor{red}{l} = 1$$

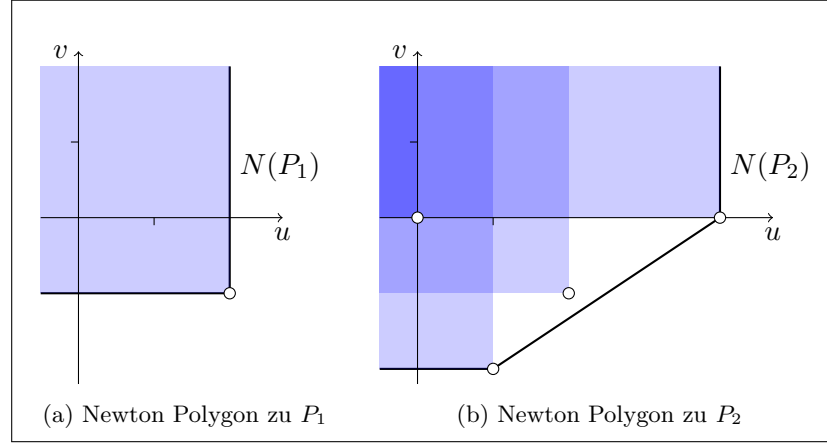
so dass

$$H(P_1) = \left( (\textcolor{blue}{2}, \textcolor{red}{1} - \textcolor{blue}{2}) + \mathbb{R}_{\leq 0} \times \mathbb{R}_{\geq 0} \right) = \{(u, v) \in \mathbb{R}^2 \mid u \leq 2, v \geq -1\}.$$

In Abbildung 3.2a ist  $H(P_1)$  (blau) sowie das Newton Polygon eingezeichnet. Offensichtlich ist  $\text{slopes}(P_1) = \{0\}$  und damit ist  $P_1$  regulär singular.

2. [AV09, Bsp 5.3. 2.] Sei  $P_2 = t^4(t+1)\partial_t^4 + t\partial_t^2 + \frac{1}{t}\partial_t + 1$  so kann man daraus das entsprechende Newton Polygon konstruieren. Das Newton Polygon wurde in Abbildung 3.2b visualisiert.

Abbildung 3.1: Zu Beispiel 3.20



**Lemma 3.21.** [Sab90, 5.1]

1.  $\mathcal{P}(\mathcal{M}_K)$  ist nicht Leer, wenn  $\mathcal{M}_K \neq \{0\}$
2. Wenn man eine exacte Sequenz  $0 \rightarrow \mathcal{M}'_K \rightarrow \mathcal{M}_K \rightarrow \mathcal{M}''_K \rightarrow 0$  hat, so gilt  $\mathcal{P}(\mathcal{M}_K) = \mathcal{P}(\mathcal{M}'_K) \cup \mathcal{P}(\mathcal{M}''_K)$ .

### 3.6 pull-back und push-forward

[HTT07, 1.3]

Nach [Sab07, 1.a]. Sei  $(\rho : \mathbb{C} \rightarrow \mathbb{C}, u \mapsto t := \rho(u)) \in u\mathbb{C}[[u]]$  mit Bewertung  $p \geq 1$  und sei  $\mathcal{M}$  ein endlich dimensionaler  $\mathbb{C}((t))$  Vektorraum ausgestattet mit einem Zusammenhang  $\nabla$ .

**Definition 3.22** (pull-back). [Sab07, 1.a] Der *pull-back* (Inverses Bild)  $\rho^+\mathcal{M}$  ist der Vektorraum  $\rho^*\mathcal{M} = \mathbb{C}((u)) \otimes_{\mathbb{C}((t))} \mathcal{M}$  mit dem *pull-back Zusammenhang*  $\rho^*\nabla$  definiert durch  $\partial_u(1 \otimes m) := \rho'(u) \otimes \partial_t m$ .

**Lemma 3.23.** Es gilt  $\rho^*\mathcal{D}_{\mathbb{C}((t))} = \mathbb{C}((u)) \otimes_{\mathbb{C}((t))} \mathcal{D}_{\mathbb{C}((t))} \cong \mathcal{D}_{\mathbb{C}((u))}$  mittels

$$\begin{aligned} \Phi : \mathbb{C}((u)) \otimes_{\mathbb{C}((t))} \mathcal{D}_{\mathbb{C}((t))} &\xrightarrow{\cong} \mathcal{D}_{\mathbb{C}((u))} \\ f(u) \otimes m(t, \partial_t) &\longmapsto f(u)m(\rho(u), \rho'(u)^{-1}\partial_u) \end{aligned}$$

*Beweis.*

□

*Bemerkung 3.24.* Das soeben, in Lemma 3.23, definierte  $\Phi$  erfüllt für  $1 \otimes m$

$$\begin{aligned} \partial_u(1 \otimes m) &\stackrel{\text{def}}{=} \rho'(u) \otimes \partial_t m \\ &\stackrel{\Phi}{\mapsto} \underbrace{\rho'(u)\rho'(u)^{-1}}_{=1} \partial_u m(\rho(u), \rho'(u)^{-1} \partial_u) \\ &= \partial_u m(\rho(u), \rho'(u)^{-1} \partial_u) \end{aligned}$$

wie gewollt.

**Lemma 3.25.** *In der Situation*

$$\begin{array}{ccc} \mathbb{C}((u)) \otimes_{\mathbb{C}((t))} \mathcal{D}_{\mathbb{C}((t))} & \xrightarrow{\text{id} \otimes \_ \cdot P(t, \partial_t)} & \mathbb{C}((u)) \otimes_{\mathbb{C}((t))} \mathcal{D}_{\mathbb{C}((t))} \\ \cong \downarrow \Phi & & \cong \downarrow \Phi \\ \mathcal{D}_{\mathbb{C}((u))} & \xrightarrow{\alpha} & \mathcal{D}_{\mathbb{C}((u))} \end{array}$$

mit  $\Phi$  wie in Lemma 3.23 macht  $\alpha := \_ \cdot P(\rho(u), \rho'(u)^{-1} \partial_u)$  das Diagramm kommutativ.

*Beweis.*

□

**Lemma 3.26.** *Sie  $Q \in \mathcal{D}_{\mathbb{C}((u))} \setminus \{0\}$ . Eine Abbildung der Form  $\mathcal{D}_{\mathbb{C}((u))} \xrightarrow{Q} \mathcal{D}_{\mathbb{C}((u))}$  ist immer surjektiv.*

*Beweis.* GEGENBEISPIEL:

$$Q := \partial_u, u \in \mathcal{D}_{\mathbb{C}((u))}$$

suche ein  $y$  so dass  $y\partial_u = u$

$$\_ \cdot Q(y) = u$$

$$y\partial_u = u$$

$$y\partial_u u = uu \quad [\text{Sab90, Chap. 4.}] \text{ links Multiplikation mit } u \text{ ist nicht bijektiv}$$

$$y = u^2$$

aber

$$\begin{aligned}
 u^2 \partial_u &= u \cdot u \cdot \partial_u \\
 &= u \cdot (\partial_u \cdot u - 1) \\
 &= u \cdot (1 - 1) \\
 &= 0
 \end{aligned}$$

□

**Lemma 3.27.** *In der Situation von Lemma 3.22, mit  $\mathcal{M} = \mathcal{D}_{\mathbb{C}((t))}/\mathcal{D}_{\mathbb{C}((t))} \cdot P(t, \partial_t)$  für ein  $P(t, \partial_t) \in \mathcal{D}_{\mathbb{C}((t))}$ , gilt*

$$\rho^* \mathcal{M} \cong \mathcal{D}_{\mathbb{C}((u))} / \mathcal{D}_{\mathbb{C}((u))} \cdot P(\rho(u), \rho'(u)^{-1} \partial_u)$$

also wird der Übergang beschrieben durch

$$\begin{aligned}
 t &\rightarrow \rho(t) \\
 \partial_t &\rightarrow \rho'(t)^{-1} \partial_u
 \end{aligned}$$

*Beweis.* Sei  $P \in \mathcal{D}_{\mathbb{C}((t))}$  und  $\mathcal{M} := \mathcal{D}_{\mathbb{C}((t))}/\mathcal{D}_{\mathbb{C}((t))} \cdot P$ . Es ist

$$0 \longrightarrow \mathcal{D}_{\mathbb{C}((t))} \xrightarrow{-\cdot P} \mathcal{D}_{\mathbb{C}((t))} \longrightarrow \mathcal{M} \longrightarrow 0$$

exact und flach, da über Körper. Deshalb ist auch

$$0 \longrightarrow \mathbb{C}((u)) \otimes_{\mathbb{C}((t))} \mathcal{D}_{\mathbb{C}((t))} \xrightarrow{\text{id} \otimes - \cdot P} \mathbb{C}((u)) \otimes_{\mathbb{C}((t))} \mathcal{D}_{\mathbb{C}((t))} \longrightarrow \rho^* \mathcal{M} \longrightarrow 0$$

exact. Also mit  $\Phi$  wie in Lemma 3.23 und  $Q(u, \partial_u) := \rho^+ P(t, \partial_t) := P(\rho(u), \rho'(u)^{-1} \partial_u)$  nach Lemma 3.25 ergibt sich

$$\begin{array}{ccccccc}
 0 & \longrightarrow & \mathbb{C}((u)) \otimes_{\mathbb{C}((t))} \mathcal{D}_{\mathbb{C}((t))} & \xrightarrow{\text{id} \otimes \cdot P} & \mathbb{C}((u)) \otimes_{\mathbb{C}((t))} \mathcal{D}_{\mathbb{C}((t))} & \longrightarrow & \rho^* \mathcal{M} \longrightarrow 0 \\
 & & \cong \downarrow \Phi & & \cong \downarrow \Phi & & \\
 & & \mathcal{D}_{\mathbb{C}((u))} & \xrightarrow{\quad \cdot Q \quad} & \mathcal{D}_{\mathbb{C}((u))} & & 
 \end{array}$$

nun lässt sich die untere Zeile zu einer exacten Sequenz fortsetzen (weil  $\cdot Q$  surjektiv)

$$\begin{array}{ccccccc}
 0 & \longrightarrow & \mathbb{C}((u)) \otimes_{\mathbb{C}((t))} \mathcal{D}_{\mathbb{C}((t))} & \xrightarrow{\text{id} \otimes \cdot P} & \mathbb{C}((u)) \otimes_{\mathbb{C}((t))} \mathcal{D}_{\mathbb{C}((t))} & \longrightarrow & \rho^* \mathcal{M} \longrightarrow 0 \\
 & & \cong \downarrow \Phi & & \cong \downarrow \Phi & & \cong \downarrow \\
 0 & \longrightarrow & \mathcal{D}_{\mathbb{C}((u))} & \xrightarrow{\quad \cdot Q \quad} & \mathcal{D}_{\mathbb{C}((u))} & \longrightarrow & \mathcal{D}_{\mathbb{C}((u))} / \mathcal{D}_{\mathbb{C}((u))} \cdot Q \longrightarrow 0
 \end{array}$$

und damit gilt dann

$$\begin{aligned}
 \rho^* \mathcal{M} &\cong \mathcal{D}_{\mathbb{C}((u))} / \mathcal{D}_{\mathbb{C}((u))} \cdot Q \\
 &= \mathcal{D}_{\mathbb{C}((u))} / \mathcal{D}_{\mathbb{C}((u))} \cdot P(\rho(u), \rho'(u)^{-1} \partial_u) .
 \end{aligned}$$

- warum sind die zusammenhänge isomorph?

□

*Bemerkung 3.28* (versuch 1). Wieso sieht die Wirkung auf dem pull-back Zusammenhang so aus?

Betrachte ein Element der Form  $f(t)m = f(\rho(u))m$ .

$$\begin{aligned}
 \partial_t(f(t)m) &= \partial_{\rho(u)}(f(\rho(u))m) \\
 &= f'(\rho(u)) \cdot \underbrace{\frac{\partial(f(u))}{\partial(f(u))}}_{=1} m + f(\rho(u)) \underbrace{\partial_{\rho(u)}}_{=\partial_t} m = (\star)
 \end{aligned}$$

$$\rho'(u)^{-1} \partial_u(f(t)m) = \frac{1}{pu^{p-1}} \partial_u(f(u^p)m)$$

$$= f'(u^p)m + f(u^p)\frac{1}{pu^{p-1}}\partial_u m = (\star)$$

Also gilt  $\partial_t(f(t)m) = \rho'(u)^{-1}\partial_u(f(t)m)$  und somit ist die Wirkung von  $\partial_t$  gleich der Wirkung von  $\rho'(u)^{-1}\partial_u$ .

**Lemma 3.29.** *Ein pull-back mit  $u \mapsto u^p$  multipliziert alle slopes mit  $p$ .*

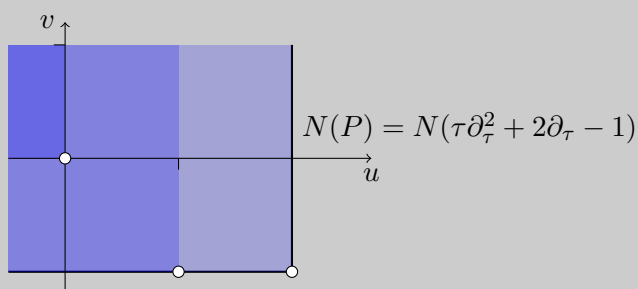
*Beweis.*

□

**Beispiel 3.30** (pull-back). Hier nun ein explizit berechneter pull-back.

Beginne mit

$$\tilde{P} = \tau\partial_\tau^2 + 2\partial_\tau - 1$$



und gehe von  $\tau$  über zu  $t$  via  $\tau \rightarrow \frac{1}{t}$ :

- was passiert mit der Ableitung  $\partial_\tau$ ? Es gilt:

$$\partial_\tau(f(\frac{1}{\tau})) = \partial_t(f) \cdot (-\frac{1}{\tau^2}) = -\partial_t(f) \cdot t^2 = -t^2 \cdot \partial_t(f)$$

also:

$$\partial_\tau = -t^2\partial_t$$

- was ist  $\partial_t(t^2\partial_t)$ ?

$$\partial_t t^2 \partial_t = (\partial_t t) t \partial_t$$

$$\begin{aligned}
&= (t\partial_t - 1)t\partial_t \\
&= t(\partial_t t)\partial_t - t\partial_t \\
&= t(t\partial_t - 1)\partial_t - t\partial_t \\
&= t^2\partial_t^2 - 2t\partial_t
\end{aligned}$$

- was passiert mit  $\tilde{P} = \tau\partial_\tau^2 + 2\partial_\tau - 1$ ?

$$\begin{aligned}
\tilde{P} &= \tau\partial_\tau^2 + 2\partial_\tau - 1 \\
&\xrightarrow{\tau \rightarrow \frac{1}{t}} \frac{1}{t}(-t^2\partial_t)^2 + 2(-t^2\partial_t) - 1 \\
&= \frac{1}{t}t^2(\partial_t(t^2\partial_t)) - 2t^2\partial_t - 1 \\
&= t(\partial_t(t^2\partial_t)) - 2t^2\partial_t - 1 \\
&= t(t^2\partial_t^2 - 2t\partial_t) - 2t^2\partial_t - 1 \\
&= t^3\partial_t^2 - 4t^2\partial_t - 1 =: P
\end{aligned}$$

Wir wollen  $\mathcal{M} := \mathcal{D}/\mathcal{D} \cdot P$  bzgl.  $P := t^3\partial_t^2 - 4t^2\partial_t - 1$  betrachten. Unser Ziel ist es hier ganzzahlige slopes erhalte. Es gilt  $\text{slopes}(P) = \{\frac{1}{2}\}$  (siehe Abbildung 3.3a) und es ist 2 der Hauptnenner aller Slopes. Wende den pull-back  $\rho : t \rightarrow u^2$ , welcher alle slopes mit 2 Multipliziert, an. Zunächst ein paar Nebenrechnungen, damit wir Lemma 3.27 anwenden können.

$$\begin{aligned}
\partial_t &\rightarrow \frac{1}{\rho'}\partial_u = \frac{1}{2u}\partial_u \\
\partial_t^2 &\rightarrow \left(\frac{1}{2u}\partial_u\right)^2 \\
&= \frac{1}{2u}\partial_u\left(\frac{1}{2u}\partial_u\right) \\
&= \frac{1}{2u}\left(-\frac{1}{2u^2}\partial_u + \frac{1}{2u}\partial_u^2\right) \\
&= \frac{1}{4u^2}\partial_u^2 - \frac{1}{4u^3}\partial_u
\end{aligned}$$

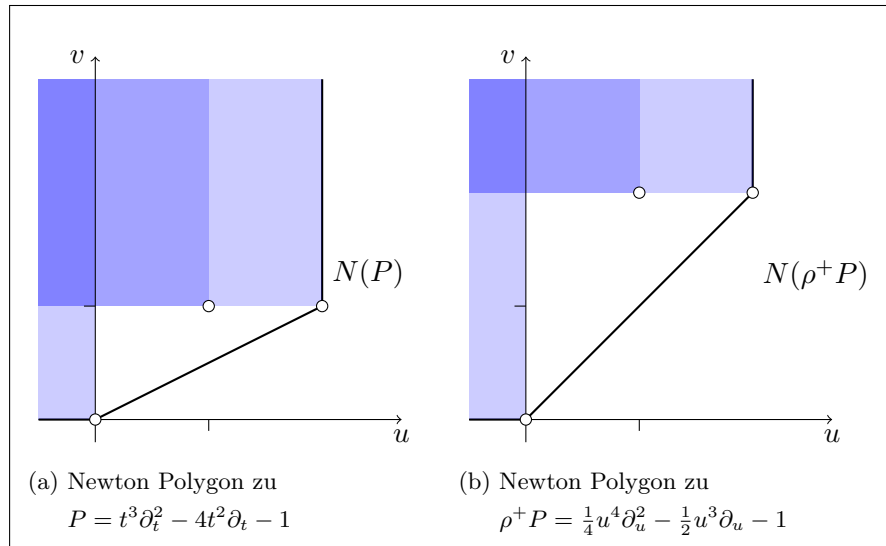
also ergibt einsetzen

$$\rho^+P = u^6\left(\frac{1}{4u^2}\partial_u^2 - \frac{1}{4u^3}\partial_u\right) - 4u^4\frac{1}{2u}\partial_u - 1$$

$$\begin{aligned}
 &= \frac{1}{4}u^4\partial_u^2 - u^3\frac{1}{4u^3}\partial_u - 4u^3\frac{1}{2}\partial_u - 1 \\
 &= \frac{1}{4}u^4\partial_u^2 - 2\frac{1}{4}u^3\partial_u - 1
 \end{aligned}$$

Also ist  $\rho^+P = \frac{1}{4}u^4\partial_u^2 - \frac{1}{2}u^3\partial_u - 1$  mit  $\text{slopes}(\rho^+P) = \{1\}$  (siehe Abbildung 3.3b) und somit  $\rho^*\mathcal{M} = \mathcal{D}/\mathcal{D} \cdot (\frac{1}{4}u^4\partial_u^2 - \frac{1}{2}u^3\partial_u - 1)$ .

Abbildung 3.2: Zu Beispiel 3.30



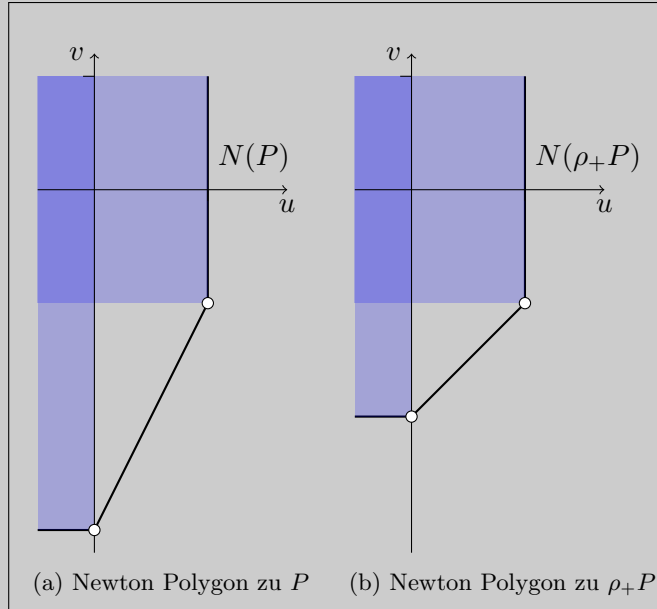
Sei  $\mathcal{N}$  ein  $\mathbb{C}((u))$ -VR mit Verknüpfung, so definiere den push-forward wie folgt.

**Definition 3.31** (push-forward). [Sab07, 1.a] Der *push-forward* (*Direktes Bild*)  $\rho_+\mathcal{N}$  ist

- der  $\mathbb{C}((t))$ -VR  $\rho_*\mathcal{N}$  ist der  $\mathbb{C}$ -Vektor Raum  $\mathcal{N}$  mit der  $\mathbb{C}((t))$ -Vektor Raum Struktur durch  $f(t) \cdot m := f(\rho(t))m$
- mit der Wirkung  $\partial_t$  beschrieben durch  $\rho'(u)^{-1}\partial_u$ .



Abbildung 3.3: Zu Beispiel 3.32



**Beispiel 3.32** (push-forward). Für  $\rho : t \rightarrow u^2$ ,  $\varphi = \frac{1}{u^2}$  betrachte

$$\begin{aligned} \mathcal{E}^\varphi &\cong \hat{\mathcal{D}}/\hat{\mathcal{D}} \cdot (\partial_u + \partial_u \frac{1}{u^2}) \\ &= \hat{\mathcal{D}}/\hat{\mathcal{D}} \cdot \underbrace{(\partial_u + \frac{2}{u^3})}_{=:P} \end{aligned}$$

mit  $\text{slopes}(P) = \{2\}$  (siehe Abbildung 3.4a). Bilde nun das Direkte Bild über  $\rho$ , betrachte dazu

$$\begin{aligned} \partial_u + \frac{2}{u^3} &= 2u(\frac{1}{2u}\partial_u + \frac{1}{u^4}) \\ &= 2u(\rho'(u)^{-1}\partial_u + \frac{1}{u^4}) \\ &= 2u(\partial_t + \frac{1}{t^2}) \end{aligned}$$

Also ist  $\rho_+ \mathcal{E}^\varphi \cong \hat{\mathcal{D}}/\hat{\mathcal{D}} \cdot (\partial_t + \frac{1}{t^2})$  mit  $\rho_+P = \partial_t + \frac{1}{t^2}$  und  $\text{slopes}(\rho_+P) = \{1\}$  (siehe Abbildung 3.4b)

**Satz 3.33.** [Sab07, 1.a] Es gilt die Projektionsformel

$$\rho_+(\mathcal{N} \otimes_{\mathbb{C}((u))} \rho^+ \mathcal{M}) \cong \rho_+ \mathcal{N} \otimes_{\mathbb{C}((t))} \mathcal{M}. \quad (3.3)$$

*Beweis.*

$$\begin{aligned} \rho_+(\mathcal{N} \otimes_{\mathbb{C}((u))} \rho^+ \mathcal{M}) &= \rho_+(\mathcal{N} \otimes_{\mathbb{C}((u))} (\mathbb{C}((u)) \otimes_{\mathbb{C}((t))} \mathcal{M})) \\ &\cong \rho_+((\mathcal{N} \otimes_{\mathbb{C}((u))} \mathbb{C}((u))) \otimes_{\mathbb{C}((t))} \mathcal{M}) \\ &\cong \rho_+(\mathcal{N} \otimes_{\mathbb{C}((t))} \mathcal{M}) \\ &= \rho_+ \mathcal{N} \otimes_{\mathbb{C}((t))} \mathcal{M} \end{aligned}$$

□

Sei  $\rho(u) = u^p = t$  und  $\varphi(t)$  gegeben.

$$\begin{aligned} \rho^+ \mathcal{E}^{\varphi(t)} &= \mathcal{E}^{\varphi(\rho(u))} = \mathcal{E}^{\varphi(u^p)} \\ \rho^+ \rho_+ \mathcal{E}^{\varphi(u)} &= \bigoplus_{\zeta \in \mu_p} \mathcal{E}^{\varphi(\zeta \cdot u)} \end{aligned}$$

### 3.7 Elementare Meromorphe Zusammenhänge

**Definition 3.34** (Elementarer formaler Zusammenhang). [Sab07, Def 2.1] Zu einem gegebenen  $\rho \in u\mathbb{C}[[u]]$ ,  $\varphi \in \mathbb{C}((u))$  und einem endlich dimensionalen  $\mathbb{C}((u))$ -Vektorraum  $R$  mit regulärem Zusammenhang  $\nabla$ , definieren wir den assoziierten Elementaren endlich dimensionalen  $\mathbb{C}((t))$ -Vektorraum mit Zusammenhang, durch:

$$El(\rho, \varphi, R) = \rho_+(\mathcal{E}^\varphi \otimes R)$$

[Sab07, nach Def 2.1] Bis auf Isomorphismus hängt  $El(\rho, \varphi, R)$  nur von  $\varphi \bmod \mathbb{C}[[u]]$  ab.

**Lemma 3.35.** [Sab07, Lem 2.2]

## 4 Levelt-Turrittin-Theorem

Quellen:

sabbah\_cimpa90 seite 28 / 30

Ab hier werden wir nur noch formale Meromorphe Zusammenhänge betrachten.

Sei  $M_{\hat{K}} = \mathcal{D}_{\hat{K}}/\mathcal{D}_{\hat{K}} \cdot P$  und nehme an, dass  $N(P)$  zumindest 2 nichttriviale Steigungen hat. Spalte  $N(P) = N_1 \dot{\cup} N_2$  in 2 Teile. Dann gilt:

**Lemma 4.1.** *Es existiert eine Aufteilung  $P = P_1 P_2$  mit:*

- $N(P_1) \subset N_1$  und  $N(P_2) \subset N_2$
- $A$  ist eine kante von ...

### 4.1 Klassische Definition

**Satz 4.2.** [[Sab90](#), Thm 5.3.1] Sei  $\mathcal{M}_{\hat{K}}$  ein formaler Meromorpher Zusammenhang und sei  $\mathcal{P}(\mathcal{M}_{\hat{K}}) = \{L^{(1)}, \dots, L^{(r)}\}$  die Menge seiner slopes. Es existiert eine (bis auf Permutation) eindeutige Aufteilung  $\mathcal{M}_{\hat{K}} = \bigoplus_{i=1}^r \mathcal{M}_{\hat{K}}^{(i)}$  in formale Meromorphe Zusammenhänge mit  $\mathcal{P}(\mathcal{M}_{\hat{K}}^{(i)}) = \{L^{(i)}\}$ .

*Beweis.* [[Sab90](#), Thm 5.3.1] □

Aussagen, die aus dem Beweis entstehen:

Wir erhalten die Exakte Sequenz

$$0 \rightarrow \mathcal{D}_{\hat{K}}/\mathcal{D}_{\hat{K}} \cdot P_1 \rightarrow \mathcal{D}_{\hat{K}}/\mathcal{D}_{\hat{K}} \cdot P \rightarrow \mathcal{D}_{\hat{K}}/\mathcal{D}_{\hat{K}} \cdot P_2 \rightarrow 0$$

**Korollar 4.3.** [[Sab90](#), Thm 5.3.4]  $\mathcal{P}(P) = \mathcal{P}(P_1) \cup \mathcal{P}(P_2)$  und  $\mathcal{P}(P_1) \cap \mathcal{P}(P_2) = \emptyset$

[Sab90, Page 34] Sei  $\mathcal{M}_{\hat{K}}$  ein formaler Meromorpher Zusammenhang. Man definiert  $\pi^*\mathcal{M}_{\hat{K}}$  als den Vektor Raum über  $\hat{L} : \pi^*\mathcal{M}_{\hat{K}} = \hat{L} \otimes_{\hat{K}} \mathcal{M}_{\hat{K}}$ . Dann definiert man die Wirkung von  $\partial_t$  durch:  $t\partial_t \cdot (1 \otimes m) = q(1 \otimes (x\partial_x \otimes m))$  und damit

$$t\partial_t \cdot (\varphi \otimes m) = q(\varphi \otimes (x\partial_x \cdot m)) + \left(t \frac{\partial \varphi}{\partial t}\right) \otimes m.$$

**Satz 4.4.** [Sab90, Thm 5.4.7] Sie  $\mathcal{M}_{\hat{K}}$  ein formaler Meromorpher Zusammenhang. So gibt es eine ganze Zahl  $q$  so dass der Zusammenhang  $\pi^*\mathcal{M}_{\hat{K}} = \mathcal{M}_{\hat{L}}$  isomorph zu einer direkten Summe von elementaren Meromorphen Zusammenhänge ist.

**Beispiel 4.5.** Sei hier  $P = \frac{1}{4}u^4\partial_u^2 - \frac{1}{2}u^3\partial_u - 1$ , wie in Beispiel ???. Wir wollen  $\mathcal{D}/\mathcal{D} \cdot P$  mittels des Levelt-Turrittin-Theorems Zerlegen.

## 4.2 Sabbah's Refined version

sabbah\_Fourier-local.pdf lemma 2.4

Sei  $\rho : u \mapsto u^p$  und  $\mu_\xi : u \mapsto \xi u$ .

**Lemma 4.6.** [Sab07, Lem 2.4] Für alle  $\varphi \in \mathbb{C}((u))$  gilt

$$\rho^+ \rho_+ \mathcal{E}^\varphi = \bigoplus_{\xi^p=1} \mathcal{E}^{\varphi \circ \mu_\xi}.$$

*Beweis.* Wir wählen eine  $\mathbb{C}((u))$  Basis  $\{e\}$  von  $\mathcal{E}^\varphi$  und zur vereinfachung nehmen wir an, dass  $\varphi \in u^{-1}\mathbb{C}[u^{-1}]$  <sup>[1]</sup>.

Dann ist die Familie  $e, ue, \dots, u^{p-1}e$  eine  $\mathbb{C}((t))$ -Basis von  $\rho_+ \mathcal{E}^\varphi$ .

Setze  $e_k = u^{-k} \otimes_{\mathbb{C}((t))} u^k e$ . Dann ist die Familie  $\mathbf{e} = (e_0, \dots, e_{p-1})$  eine  $\mathbb{C}((u))$ -Basis von  $\rho^+ \rho_+ \mathcal{E}^\varphi$ . Zerlege nun  $u\varphi'(u) = \sum_{j=0}^{p-1} u^j \psi_j(u^p) \in u^{-2}\mathbb{C}[u^{-1}]$  mit  $\psi_j \in \mathbb{C}[t^{-1}]$  für alle  $j > 0$  und  $\psi_0 \in t^{-1}\mathbb{C}[u^{-1}]$  (siehe: Anhang A).

Sei  $P$  die Permutationsmatrix, definiert durch  $\mathbf{e} \cdot P = (e_1, \dots, e_{p-1}, e_0)$  <sup>[2]</sup>.

<sup>[1]</sup>  $\mathcal{E}^\varphi = \mathcal{E}^\psi \Leftrightarrow \varphi \equiv \psi \pmod{\mathbb{C}[[u]]}$

<sup>[2]</sup>  $P = \begin{pmatrix} 0 & & & 1 \\ 1 & 0 & & \\ & \ddots & \ddots & \\ & & 1 & 0 \end{pmatrix}$

Es gilt:

$$u\partial_u e_k = \sum_{i=0}^{p-1-k} u^i \psi_i(u^p) e_{k+1} + \sum_{i=p-k}^{p-1} u^i \psi_i(u^p) e_{k+i-p}$$

denn:

$$\begin{aligned} u\partial_u e_k &= u\partial_u (u^{-k} \otimes_{\mathbb{C}((t))} u^k e) \\ &= u(-ku^{-k-1} \otimes_{\mathbb{C}((t))} u^k e + pu^{p-1} u^{-k} \otimes_{\mathbb{C}((t))} \partial_t (\underbrace{u^k e}_{\in \rho_+ \mathcal{E}^\varphi})) \\ &= -ku^{-k} \otimes_{\mathbb{C}((t))} u^k e + pu^{p-1} u^{-k+1} \otimes_{\mathbb{C}((t))} (pu^{p-1})^{-1} (ku^{k-1} e + u^k \varphi'(u) e) \\ &= -ku^{-k} \otimes_{\mathbb{C}((t))} u^k e + u^{-k+1} \otimes_{\mathbb{C}((t))} (ku^{k-1} e + u^k \varphi'(u) e) \\ &= \underbrace{-ku^{-k} \otimes_{\mathbb{C}((t))} u^k e + u^{-k+1} \otimes_{\mathbb{C}((t))} ku^{k-1} e}_{=0} + u^{-k+1} \otimes_{\mathbb{C}((t))} u^k \varphi'(u) e \\ &= u^{-k} \otimes_{\mathbb{C}((t))} u^{k+1} \varphi'(u) e \\ &= \sum_{i=0}^{p-1} u^{-k} \otimes_{\mathbb{C}((t))} u^k \underbrace{u^i \psi_i(u^p)}_{\in \mathbb{C}((t))} e \\ &= \sum_{i=0}^{p-1} u^i \psi_i(u^p) (u^{-k} \otimes_{\mathbb{C}((t))} u^k e) \\ &= \sum_{i=0}^{p-1-k} u^i \psi_i(u^p) e_{k+1} + \sum_{i=p-k}^{p-1} u^i \psi_i(u^p) e_{k+i-p} \end{aligned}$$

so dass gilt:

$$u\partial_u \mathbf{e} = \mathbf{e} \left[ \sum_{j=0}^{p-1} u^j \psi_j P^j \right]$$

denn:

$$\begin{aligned} u\partial_u \mathbf{e} &= (u\partial_u e_0, \dots, u\partial_u e_{p-1}) \\ &= \left( \sum_{i=0}^{p-1-k} u^i \psi_i(u^p) e_{k+1} + \sum_{i=p-k}^{p-1} u^i \psi_i(u^p) e_{k+i-p} \right)_{k \in \{0, \dots, p-1\}} \end{aligned}$$

$$\begin{aligned}
 &= \mathbf{e} \begin{pmatrix} u^{p-1}\psi_{p-1}(u^p) & \cdots & u^3\psi_3(u^p) & u^2\psi_2(u^p) & u^1\psi_1(u^p) \\ u^1\psi_1(u^p) & u^{p-1}\psi_{p-1}(u^p) & & \ddots & u^2\psi_2(u^p) \\ u^2\psi_2(u^p) & u^1\psi_1(u^p) & \ddots & & u^3\psi_3(u^p) \\ u^3\psi_3(u^p) & \ddots & \ddots & \ddots & \vdots \\ \vdots & & \ddots & u^1\psi_1(u^p) & u^{p-1}\psi_{p-1}(u^p) \\ u^{p-2}\psi_{p-2}(u^p) & \cdots & u^3\psi_3(u^p) & u^2\psi_2(u^p) & u^1\psi_1(u^p) & u^{p-1}\psi_{p-1}(u^p) \end{pmatrix} \\
 &= \mathbf{e} \left[ \sum_{j=0}^{p-1} u^j \psi_j(u^p) P^j \right]
 \end{aligned}$$

Die Wirkung von  $\partial_u$  auf die Basis von  $\rho^+ \rho_+ \mathcal{E}^{\varphi(u)}$  ist also Beschrieben durch:

$$\partial_u \mathbf{e} = \mathbf{e} \left[ \sum_{j=0}^{p-1} u^{j-1} \psi_j P^j \right]$$

Diagonalisiere nun  $TPT^{-1} = D = \begin{pmatrix} \xi^0 & & & \\ & \xi^1 & & \\ & & \ddots & \\ & & & \xi^{p-1} \end{pmatrix}$  [3], mit  $\xi^p = 1$  und  $T \in Gl_p(\mathbb{C})$ .

So dass gilt:

$$\begin{aligned}
 T \left[ \sum_{j=0}^{p-1} u^{j-1} \psi_j(u^p) P^j \right] T^{-1} &= \left[ \sum_{j=0}^{p-1} u^{j-1} \psi_j(u^p) (TPT^{-1})^j \right] \\
 &= \left[ \sum_{j=0}^{p-1} u^{j-1} \psi_j(u^p) D^j \right] \\
 &= \begin{pmatrix} \sum_{j=0}^{p-1} u^{j-1} \psi_j & \sum_{j=0}^{p-1} u^{j-1} \psi_j (\xi^1)^j & & \\ & \ddots & \ddots & \\ & & \sum_{j=0}^{p-1} u^{j-1} \psi_j (\xi^{p-1})^j & \end{pmatrix} \\
 &= \begin{pmatrix} \sum_{j=0}^{p-1} u^{j-1} \psi_j & \sum_{j=0}^{p-1} (u\xi^1)^{j-1} \psi_j \xi^1 & & \\ & \ddots & \ddots & \\ & & \sum_{j=0}^{p-1} (u\xi^{p-1})^{j-1} \psi_j \xi^{p-1} & \end{pmatrix} \quad [4]
 \end{aligned}$$

---

[3] Klar, da mipo  $X^p - 1$

$$= \begin{pmatrix} \varphi'(u) & & & \\ & \varphi'(\xi u)\xi^1 & & \\ & & \ddots & \\ & & & \varphi'(\xi^{p-1}u)\xi^{p-1} \end{pmatrix}$$

Wie sieht denn die Wirkung auf die Basis von  $\bigoplus_{\xi^{p=1}} \mathcal{E}^{\varphi \circ \mu_\xi} \stackrel{\Phi}{\cong} \mathbb{C}((u))^p$  aus?

$$\begin{aligned} \partial_u \begin{pmatrix} 1 \\ 0 \\ \vdots \\ 0 \end{pmatrix} &= \begin{pmatrix} \partial_u 1 \\ \partial_u 0 \\ \vdots \\ \partial_u 0 \end{pmatrix} = \begin{pmatrix} \varphi'(u) \\ 0 \\ \vdots \\ 0 \end{pmatrix} \\ \partial_u \begin{pmatrix} 0 \\ 1 \\ 0 \\ \vdots \\ 0 \end{pmatrix} &= \begin{pmatrix} \partial_u 0 \\ \partial_u 1 \\ \partial_u 0 \\ \vdots \\ \partial_u 0 \end{pmatrix} = \begin{pmatrix} 0 \\ \varphi'(u) \\ 0 \\ \vdots \\ 0 \end{pmatrix} \xrightarrow{\Phi} \begin{pmatrix} 0 \\ \varphi'(u)\xi \\ 0 \\ \vdots \\ 0 \end{pmatrix} \end{aligned}$$

Also kommutiert das Diagramm:

$$\begin{array}{ccccccc} \rho^+ \rho_+ \mathcal{E}^{\varphi(u)} & \xleftarrow{\cong} & \mathbb{C}((u))^p & \xleftarrow{\cong} & \mathbb{C}((u))^p & \xrightarrow{\cong} & \bigoplus_{\xi^{p=1}} \mathcal{E}^{\varphi \circ \mu_\xi} \\ \downarrow \partial_u & & \downarrow \sum_{j=0}^{p-1} u^{j-1} \psi_j P^j & & \downarrow \sum_{j=0}^{p-1} u^{j-1} \psi_j D^j & & \downarrow \partial_u \\ \rho^+ \rho_+ \mathcal{E}^{\varphi(u)} & \xleftarrow{\cong} & \mathbb{C}((u))^p & \xleftarrow{\cong} & \mathbb{C}((u))^p & \xrightarrow{\cong} & \bigoplus_{\xi^{p=1}} \mathcal{E}^{\varphi \circ \mu_\xi} \end{array}$$

Und deshalb ist klar ersichtlich das auf  $\rho^+ \rho_+ \mathcal{E}^{\varphi(u)}$  und  $\sum_{j=0}^{p-1} u^{j-1} \psi_j D^j$  ein Äquivalenter Meromorpher Zusammenhang definiert ist.

□

**Proposition 4.7.** [Sab07, Prop 3.1] Jeder irreduzible endlich dimensionale formale Meromorphe Zusammenhang  $\mathcal{M}_{\hat{K}}$  ist isomorph zu  $\rho_+(\mathcal{E}^\varphi \otimes L)$ , wobei  $\varphi \in u^{-1}\mathbb{C}[u^{-1}]$ ,  $\rho : u \mapsto t = u^p$  mit  $\text{grad } p \geq 1$  minimal bzgl.  $\varphi$  (siehe [Sab07, Rem 2.8]), und  $L$  ist ein Rang 1  $\mathbb{C}((u))$ -Vektorraum mit regulärem Zusammenhang.

*Beweis.* [Sab07, Prop 3.1] □

**Satz 4.8** (Refined Turrittin-Levelt). [Sab07, Cor 3.3] *Jeder endlich dimensionale Meromorphe Zusammenhang  $\mathcal{M}_{\hat{K}}$  kann in eindeutiger Weise geschrieben werden als direkte Summe  $\bigoplus_{\text{def}} \text{El}(\rho, \varphi, R) =_{\text{def}} \rho_+(\mathcal{E}^\varphi) \otimes R$ , so dass jedes  $\rho_+\mathcal{E}^\varphi$  irreduzibel ist und keine zwei  $\rho_+\mathcal{E}^\varphi$  isomorph sind.*

*Beweis.* [Sab07, Cor 3.3] □



## A Aufteilung von ...

Sei  $\varphi \in u^{-1}\mathbb{C}[u^{-1}]$ , so ist  $\varphi' =: \sum_{i=2}^N a_{-i}u^{-i} \in u^{-2}\mathbb{C}[u^{-1}]$  also  $u\varphi'(u) = \sum_{i=1}^N a_{-(i-1)}u^{-i} \in u^{-1}\mathbb{C}[u^{-1}]$ , welches wir zerlegen wollen.

Zerlege also  $u\varphi'(u) = \sum_{j=0}^{p-1} u^j \psi_j(u^p)$  mit  $\psi_j \in \mathbb{C}[t^{-1}]$  für alle  $j > 0$  und  $\psi_0 \in t^{-1}\mathbb{C}[t^{-1}]$ :

$$\begin{array}{c}
 u\varphi'(u) = a_{-2}u^{-1} + \dots + a_{-p}u^{-(p-1)} + a_{-(p+1)}u^{-p} + a_{-(p+2)}u^{-(p+1)} + \dots + a_{-(2p+1)}u^{-2p} + a_{-(2p+3)}u^{-(2p+1)} + \dots \\
 \begin{array}{c}
 \xrightarrow{\psi_0(u^p)} \qquad \qquad \qquad \xrightarrow{\psi_1(u^p)} \\
 \xrightarrow{u^{p-1}\psi_{p-1}(u^p)} \qquad \qquad \qquad \xrightarrow{u\psi_1(u^p)}
 \end{array}
 \end{array}$$

also:

$$\psi_0(u^p) = a_{-(p+1)}u^{-p} + a_{-(2p+1)}u^{-2p} + \dots$$

$$\psi_1(u^p) = a_{-p}u^{-p} + a_{-2p}u^{2p} + \dots$$

$\vdots$

$$\psi_{p-1}(u^p) = a_{-2}u^p + a_{-(p+2)}u^{2p} + \dots$$



## B Wie ich Newton Polygone zeichne

Ich benutze tikz

```
\usepackage{tikz}
\usetikzlibrary{matrix,arrows,decorations.pathmorphing}
```

und ein eigenes Kommando

```
\newcommand{\myNewtonPlot}[6]{
  \draw[color=black,thick] #2;
  \foreach \pos in #1 { \fill[blue,opacity=.2] (-.5,#5)
    rectangle \pos; }
  \draw[->] (-.5,0) -- (#3+.7,0);
  \draw[->] (0,#4-.2) -- (0,#5+.2);
  \draw (1,0) -- (1,-.1);
  \draw (0,1) -- (-.1,1);
  \foreach \pos in #1 { \node[draw,circle,inner sep=1.5pt,
    fill=white] at \pos {}; }
  \node [below right] at (#3,#5/2) {#6};
}
```

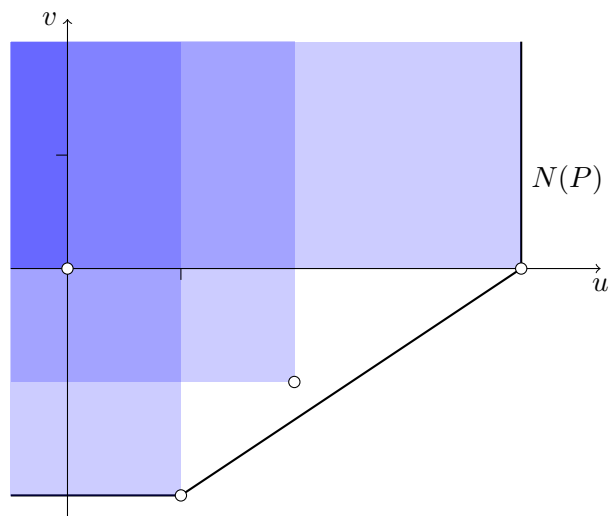
welche 6 Parameter verlangt:

1. ein array der Punkte
2. einen Pfad, der das Newton Polygon beschreibt
3. den maximalen x Wert
4. den minimalen y Wert
5. den maximalen y Wert

Ein Aufruf

```
\begin{tikzpicture}[scale=1.5]
\def\myPoints{{(0,0)}, {(1,-2)}, {(2,-1)}, {(4,0)}}
\def\myPath{(-.5,-2) -- (1,-2) -- (4,0) -- (4,2)}
\myNewtonPlot{\myPoints}{\myPath}{4}{-2}{2}{ $N(P)$ }
\end{tikzpicture}
```

ergibt dann



# Literaturverzeichnis

- [Ara] D. Arapura, *Notes on  $d$ -modules and connections with hodge theory*, Notizen?
- [AV09] B. Alkofer and F. Vogl, *Lineare differentialgleichungen und deren fouriertransformierte aus algebraischer sicht / lineare differentialgleichungen aus algebraischer sicht*, 2009.
- [Cou95] S.C. Coutinho, *A primer of algebraic  $d$ -modules*, London Mathematical Society Student Texts, Cambridge University Press, 1995.
- [Ell10] C. Elliott,  *$D$ -modules*, unpublished notes available online, April 2010.
- [Gin98] V. Ginzburg, *Lectures on  $d$ -modules*, Vorlesungsskript, 1998.
- [Har77] R. Hartshorne, *Algebraic geometry*, Graduate Texts in Mathematics, Springer, 1977.
- [HTT07] R. Hotta, K. Takeuchi, and T. Tanisaki,  *$D$ -modules, perverse sheaves, and representation theory*, Progress in Mathematics, Birkhäuser Boston, 2007.
- [MR89] H. Matsumura and M. Reid, *Commutative ring theory*, Cambridge Studies in Advanced Mathematics, Cambridge University Press, 1989.
- [Sab90] C. Sabbah, *Introduction to algebraic theory of linear systems of differential equations*, Vorlesungsskript, 1990.
- [Sab07] ———, *An explicit stationary phase formula for the local formal Fourier-Laplace transform*, June 2007.
- [Sta12] The Stacks Project Authors, *Stacks Project*, <http://stacks.math.columbia.edu>, December 2012.